

空気力学第四 レポート課題

2018/06/04

航空宇宙工学科 4 年

学籍番号: 03-170313

飯山敬大

[課題 1] スカラー1次元型双曲線偏微分方程式

1-1 概要

スカラー1次元線形双曲線型偏部分方程式: $\frac{\partial u}{\partial t} + \frac{\partial f}{\partial x} = 0$, $f = au$ (a は実定数)について, 3種類の計算スキームで数値計算を行う.

1-2 設定した条件

計算する範囲を $0 \leq x \leq 1$ とし, $dx=0.02$, ノード数 $mx=50$, クーラン数 $cfl=0.5$, 流速 $a=1.0$, 計算ステップ数 $nstep=30$ と設定した.

[初期条件]

$x \leq 0.5$ で $u=1$, $x=0.5$ で $u=0$ とする.

[境界条件]

$x=0$ で $u=1$, $x=1$ で $u=0$. TVD スキームでは前後2つ分の情報が必要なので, $x=0, 0.02$ で $u=1$, $x=1, 1.02$ で $u=0$ とした.

1-3 使用した差分スキーム

今回の解析に利用したスキームは以下の3つである.

(1) 1次風上差分

$$u_i^{n+1} = (1 - \nu)u_i^n + \nu u_{i-1}^n \quad (\nu \text{はクーラン数})$$
$$f_{j+1/2}^n = \begin{cases} f_j^n & (a > 0) \\ f_{j+1}^n & (a < 0) \end{cases} \quad (1.1)$$

と近似する. 1次精度.

(2) Lax_Wendroff:

$$u_i^{n+1} = u_i^n + \nu(u_i^n - u_{i-1}^n) + \frac{1}{2}\nu(\nu - 1)(u_{i+1}^n - 2u_i^n + u_{i-1}^n) \quad (\nu \text{はクーラン数})$$

$$f_{j+1/2}^n = \frac{1}{2} \left[(1 - \nu)f_{j+1}^n + (1 + \nu)f_j^n \right]$$

$$= a \left[u_j^n + \frac{1}{2}(1 - \nu)(u_{j+1}^n - u_j^n) \right] \quad (1.2)$$

と近似する. (時間, 空間) 2次精度.

(3) Symmetric-TVD(minmod): 2 次精度

Lax_Wendroffスキームの数値流束(2)の第二項に流速制限関数 $B_{j+1/2}$ を追加する非線形なスキームを考えることにより, 不連続面での振動を抑えることを考える.

$$f_{j+1/2}^n = a \left[u_j^n + \frac{1}{2}(1 - \nu)B_{j+1/2}(u_{j+1}^n - u_j^n) \right] \quad (1.3)$$

数値振動が起こらないようにするため $B_{j+1/2}$ が満たさなくてはならない条件は以下のよう
に与えられる.

$$0 \leq B_{j+1/2} \leq 2$$

$$0 \leq \frac{B_{j+1/2}}{r_j} \leq 2 \quad \left(r_j = \frac{u_j^n - u_{j-1}^n}{u_{j+1}^n - u_j^n} \right) \quad (1.4)$$

ここで, (3)を以下のように変形する.

$$f_{j+1/2}^n = \frac{1}{2} [(f_{j+1} + f_j) + \phi_{j+1/2}] \quad (1.5)$$

$a < 0$ の場合も成り立つように変形すると,

$$\phi_{j+1/2} = - \left[\left(\frac{\Delta t}{\Delta x} \right) \cdot a^2 \cdot \hat{Q}_{j+\frac{1}{2}} + |a| \cdot (u_{j+1} - u_j - \hat{Q}_{j+\frac{1}{2}}) \right] \quad (1.6)$$

$$\hat{Q}_{j+\frac{1}{2}} = B_{j+\frac{1}{2}}(u_{j+1} - u_j) \quad (7)$$

$\hat{Q}_{j+\frac{1}{2}}$ は $\Delta_{j+\frac{1}{2}} = u_{j+1} - u_j$ の次元をもつ limiter 関数である. ここでは, 以下の minmod 関数を採用する.

$$\hat{Q}_{j+\frac{1}{2}} = \minmod \left\{ \Delta_{j-\frac{1}{2}}, \Delta_{j+\frac{1}{2}}, \Delta_{j+\frac{3}{2}} \right\} \quad (1.7)$$

(6)式より $|a| \approx 0$ のとき, $\phi_{j+\frac{1}{2}} \approx 0$ となり, (5)式より Flux が中心差分で評価され, スキームが stable でなくなってしまう. そこで, 以下のように $|a|$ を置き換え, 人工粘性を追加した.

$$|a| = \psi(a) = \begin{cases} |a| & (|a| \geq \delta) \\ \frac{a^2 + \delta^2}{2\delta} & (|a| < \delta) \end{cases} \quad (1.8)$$

今回は $\delta = 0.1$ と設定した.

1-4 使用した計算機, OS, プログラミング言語

使用した計算機	MacBookPro
プロセッサ	2.7GHz Intel Core i5
メモリ	8GB 1867MHz DDR3
OS	macOS High Sierra ver10.13.4
使用したプログラミング言語	計算: C++ (コンパイラ: gcc5.5.0) プロット: Python3

1-5 結果

各スキームについて 1-2 の条件の元で計算を行ったところ, 以下のような結果が得られた.
実線が数値解, 点線が厳密解である.

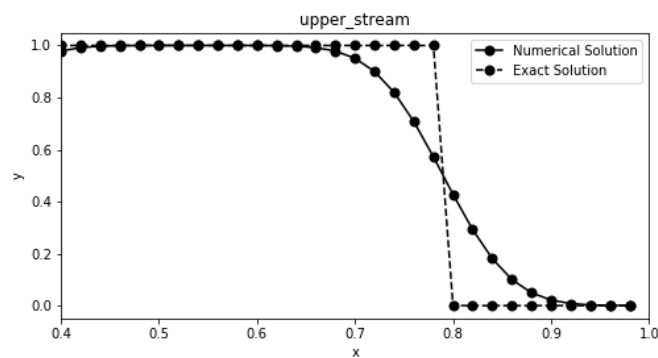


図 1 一次風上差分

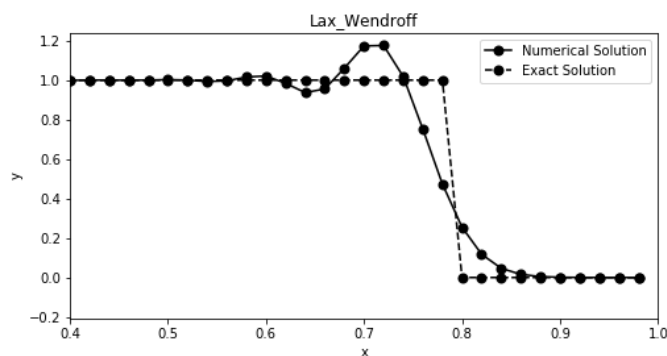


図 2 Lax_Wendroff

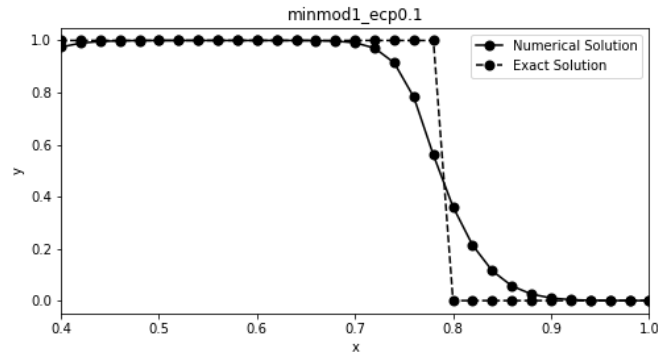


図 3 Symmetric-TVD

1-6 使用したスキームについての考察

1次風上差分では, 単調な解が得られるが, 1次精度であることから, 高周波成分がカットされて, 解が「鈍って」しまい, 高精度の解は得られなかった. 一方, 2次精度の Lax-Wendroff スキームでは, 精度は良いが, 図 2 のように不連続面で振動が発生し, 単調でない解が得られた. そこで, 両者の良いところを組み合わせたスキームを考える. Gudonouv の定理より, 高精度かつ解が単調である定係数のスキームは存在しないので, Lax_wendroff スキームに流速制限関数を加えた非線形なスキームを考えたものが TVD スキームである. Symmetric-TVD スキームを使用したところ, 図 3 のように一次風上差分よりシャープで, かつ振動が発生しない数値解が得られた.

1-7 格子解像度の効果

Lax_Wendroff スキームについて, $dx=0.01$ (1-5 の 0.5 倍) としたところ以下のようになった. メッシュ幅を小さくすると, 高周波の波形が表現できるようになり, より精度の高い解が得られた.

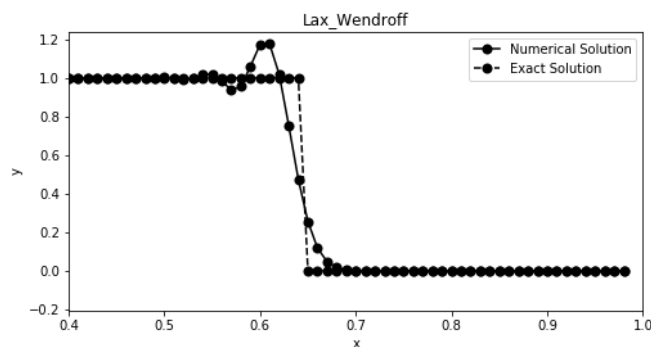


図 4 Lax_Wendroff スキーム ($dx=0.01$)

[課題 2] 線型双曲線型連立偏微分方程式

2-1 概要

線型双曲線型連立偏微分方程式

$$\frac{\partial U}{\partial t} + \frac{\partial F}{\partial x} = 0, \quad F = AU \quad (A \text{ は } 2 \times 2 \text{ の定数係数行列}) \quad (2.1)$$

について、ゴドノフ法による数値計算を行う。

2-2 使用したスキーム

1 次風上差分法スキームを使用する。(時間, 空間)1 次精度である。

Time update は以下の式のようなになる

$$U_j^{n+1} = U_j^n - \frac{\Delta t}{\Delta x} (F_{j+\frac{1}{2}} - F_{j-\frac{1}{2}}) \quad (2.2)$$

ただし,

$$F_{j+\frac{1}{2}} = \frac{1}{2} \{ F_j + F_{j+1} - R \cdot |\Lambda| \cdot R^{-1} (U_{j+1} - U_j) \} \quad (2.3)$$

である。

2-3 設定した条件

計算する範囲を $0 \leq x \leq 1$ とし, $dx=0.01$, ノード数 $n=100$, クーラン数 $\nu=0.5$, 計算ステップ数 $nstep=100$ と設定した。また行列 A の値は

$$A = \begin{bmatrix} 3 & 1 \\ 2 & 4 \end{bmatrix} \quad (2.3)$$

と設定した。ここで

$$dt = \frac{\nu * dx}{a} \quad (2.4)$$

であるが, この計算に用いる流速 a の値としては, A の固有値 ($\lambda_1 = 2, \lambda_2 = 5$) の内, 大きい方を採用し $a=5$ とした。

[初期条件]

$t=0$ において,

$$(u, v) = \begin{cases} (1, 1) & (x \leq 0.2) \\ (2, -1) & (x > 0.2) \end{cases} \quad (2.5)$$

とした.

[境界条件]

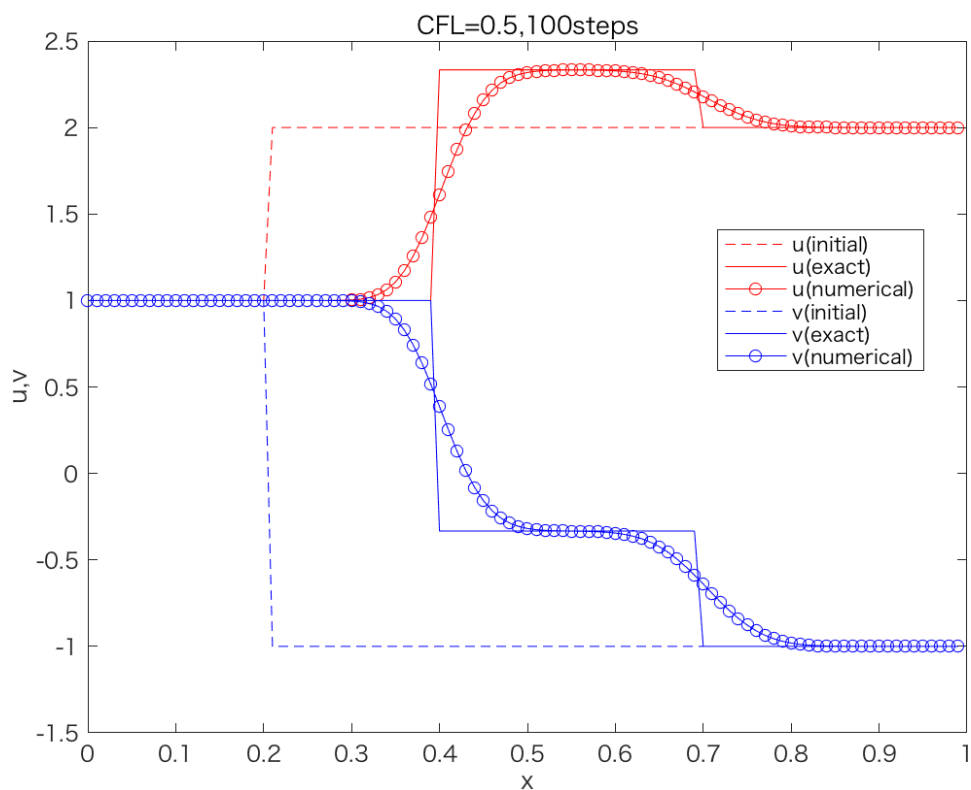
(2.2)の計算に際して, U_{j-1}, U_j, U_{j+1} の 3 つの値が必要になる. よって, ノード番号を 1-100 とすると, ノード番号 1, 100 の U はノード番号 2,99 の値と同じものに設定する.

2-4 使用した計算機, OS, プログラミング言語

使用した計算機	MacBookPro
プロセッサ	2.7GHz Intel Core i5
メモリ	8GB 1867MHz DDR3
OS	macOS High Sierra ver10.13.4
使用したプログラミング言語	計算, プロット: MATLAB

2-5 結果

結果は以下のグラフのようになった.



1 次精度であることから, 解が鈍っていることが分かる.

2-6 ソースコード

計算に使用した MATLAB のソースコードを添付する. (¥は\を表す)

```
% 線形双曲線型連立偏微分方程式 ゴドノフ法 2x2

% U = 2x1, A = 2x2, F = 2x1

A = [3, 1; 2, 4];
n= 100;
x = zeros([1, n]);
U = zeros([2, n]);
U_init = zeros([2, n]);
Flux = zeros([2, n]); %Flux(j) = F(j+1/2)

nlast = 100; %number of timesteps
cfl = 0.5;
dx = 1/n;
lambda = eig(A);
a= max(lambda);
dt = cfl * dx / a;

%% Initialize
U_init_l = [1;1];
U_init_r = [2;-1];
for i = 1:n
    x(i) = (i-1)*dx;
    if(x(i) <= 0.2)
        U(:, i) = U_init_l;
        U_init(:, i) = U_init_l;
    else
        U(:, i) = U_init_r;
        U_init(:, i) = U_init_r;
    end
end
end
```

```

%% Exact Answer

[R, Lambda] = eig(A);

W_init_l = R\U_init_l;
W_init_r = R\U_init_r;

W_exact = zeros([2, 100]);

for j = 1:n
    for k = 1:2
        if(x(j) < (0.2 + dt*lambda(k)*nlast))
            W_exact(k, j) = W_init_l(k, 1);
        else
            W_exact(k, j) = W_init_r(k, 1);
        end
    end
end

U_exact = R * W_exact;

%% Numerical Answer

for t = 1:nlast
    F = A * U;

    U_new = zeros([2, n]); %U of next timestep

    for m = 1:n-1
        Flux(:, m) = 0.5 * (F(:, m) + F(:, m+1) - R * (abs(Lambda) * inv(R)) * (U(:, m+1) - U(:, m)));
    end

    for p = 2:n-1
        U_new(:, p) = U(:, p) - (dt/dx)*(Flux(:, p) - Flux(:, p-1));
    end

    U_new(:, 1) = repmat(U(:, 1), 1);
    U_new(:, n) = repmat(U(:, n), 1);

    U = repmat(U_new, 1);
end

```